

# Optimálne riadenie hybridných systémov

Miroslav Fikar

Ústav informatizácie, automatizácie a matematiky  
Fakulta chemickej a potravinárskej technológie  
Slovenská technická univerzita v Bratislave  
Radlinského 9, 812 37 Bratislava, Slovenská republika  
[miroslav.fikar@stuba.sk](mailto:miroslav.fikar@stuba.sk), <http://www.kirp.cthf.stuba.sk>

Seminár hybridné systémy

# Ciele prezentácie

- Optimálne riadenie v otvorenej slučke = dynamická optimalizácia
  - Chceme určiť najlepšiu možnú trajektóriu riadenia
  - Zaujímajú nás vlastnosti optimálneho riadenia
  - Určujeme trajektóriu pre sledovanie v nižšej úrovni riadenia
- Hybridná dynamika
  - Kombinácia spojitej dynamiky a logických podmienok
  - Môžeme modelovať aj veľmi zložité systémy.

- 1 Dynamická optimalizácia hybridných systémov
  - Definícia hybridného systému
  - Definícia problému
  - Možnosti riešenia optimalizačného problému
- 2 Sekvenčná metóda – parametrizácia vektora riadenia
  - Princíp metódy
  - Nespojitosť stavových a adjugovaných veličín
  - Algoritmus riešenia
  - Grafická interpretácia algoritmu riešenia
- 3 Ilustratívne príklady
  - Riadenie zásobníkov kvapaliny
  - Riadenie dvojstupňového chemického reaktora

# Prehľad

## 1 Dynamická optimalizácia hybridných systémov

- Definícia hybridného systému
- Definícia problému
- Možnosti riešenia optimalizačného problému

## 2 Sekvenčná metóda – parametrizácia vektora riadenia

- Princíp metódy
- Nespojitosť stavových a adjugovaných veličín
- Algoritmus riešenia
- Grafická interpretácia algoritmu riešenia

## 3 Ilustratívne príklady

- Riadenie zásobníkov kvapaliny
- Riadenie dvojstupňového chemického reaktora

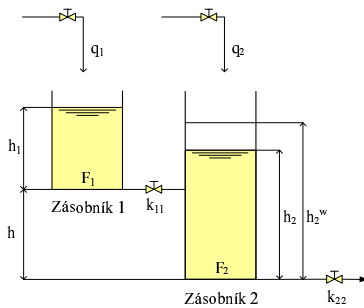
# Definícia hybridného systému

Systém je opísaný nasledujúcimi **diferenciálnymi rovnicami**

$$\dot{\mathbf{x}} = \mathbf{f}_i(t, \mathbf{x}(t), \mathbf{u}(t), \mathbf{p}), \quad t_{i-1} \leq t \leq t_i, \quad i = \overline{1, P} \quad (1)$$

Časy prenutia v okamihu  $t_i$  sú dané **podmienkami prenutia**

$$\mathbf{g}_i(t_i, \mathbf{x}(t_i^-), \mathbf{u}_i, \mathbf{p}) = \mathbf{0}, \quad i = \overline{1, P-1} \quad (2)$$

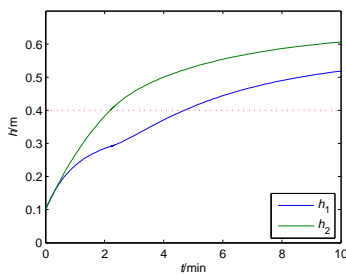


# Definícia prerušenia

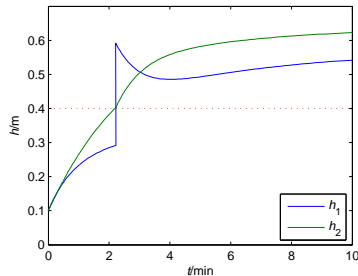
V čase prenutia môže byť vektor  $\mathbf{x}(t)$  **nespojity** s prerušením v tvare

$$\mathbf{x}(t_i^+) = \mathbf{x}(t_i^-) + \Delta_i(t_i, \mathbf{x}(t_i^-), \mathbf{u}_i, \mathbf{p}) \quad (3)$$

Ak  $\Delta_i = \mathbf{0}$ , potom vektor  $\mathbf{x}(t)$  je **spojitý** v čase prenutia.



Obr.: Spojitá zmena ( $\Delta_{1,2} = 0$ )



Obr.: Skoková zmena ( $\Delta_1 \neq 0$ ,  $\Delta_2 = 0$ )

# Prehľad

1

## Dynamická optimalizácia hybridných systémov

- Definícia hybridného systému
- **Definícia problému**
- Možnosti riešenia optimalizačného problému

2

## Sekvenčná metóda – parametrizácia vektora riadenia

- Princíp metódy
- Nespojitosť stavových a adjugovaných veličín
- Algoritmus riešenia
- Grafická interpretácia algoritmu riešenia

3

## Ilustratívne príklady

- Riadenie zásobníkov kvapaliny
- Riadenie dvojstupňového chemického reaktora

# Definícia problému

Cieľom je nájsť také **riadenie**  $\mathbf{u}_i$ , ktoré **minimalizuje** funkcionál  $J_0$

$$\min_{t_P, \mathbf{u}, \mathbf{p}} J_0 = G(t_P, \mathbf{x}(t_P), \mathbf{u}(t_P), \mathbf{p}) + \int_{t_0}^{t_P} F(\mathbf{x}(t), \mathbf{u}(t), \mathbf{p}) dt \quad (4)$$

vzhľadom na **obmedzenia** typu rovnosti a nerovnosti

$$J_j = 0, \quad j = \overline{1, k_e} \quad (5)$$

$$J_j \geq 0, \quad j = k_e + \overline{1, k_i} \quad (6)$$

s **obmedzeniami** na optimalizované premenné

$$\Delta \mathbf{t}_i \in [\Delta \mathbf{t}_i^{\min}, \Delta \mathbf{t}_i^{\max}] \quad (7)$$

$$\mathbf{u}_i \in [\mathbf{u}_i^{\min}, \mathbf{u}_i^{\max}] \quad (8)$$

$$\mathbf{p}_i \in [\mathbf{p}_i^{\min}, \mathbf{p}_i^{\max}] \quad (9)$$

# Prehľad

1

## Dynamická optimalizácia hybridných systémov

- Definícia hybridného systému
- Definícia problému
- Možnosti riešenia optimalizačného problému

2

## Sekvenčná metóda – parametrizácia vektora riadenia

- Princíp metódy
- Nespojitosť stavových a adjugovaných veličín
- Algoritmus riešenia
- Grafická interpretácia algoritmu riešenia

3

## Ilustratívne príklady

- Riadenie zásobníkov kvapaliny
- Riadenie dvojstupňového chemického reaktora

# Možnosti riešenia optimalizačného problému

## ● Analytické metódy

- Dynamické programovanie (DP)
- Pontrjaginov princíp minima/maxima (PMP)
- Variačný počet (VP)

## ● Numerické metódy

- Stavy aj riadenie sú spojité:
  - Iterácia hraničnej podmienky (BCI)
  - Iterácia vektora riadenia (CVI)
- Stavy sú spojité, riadenie je aproximované:
  - Sekvenčná metóda – parametrizácia vektora riadenia (CVP)
- Stavy, aj riadenie sú aproximované:
  - Simultánna metóda (totálna parametrizácia)

# Možnosti riešenia optimalizačného problému

## • Analytické metódy

- Dynamické programovanie (DP)
- Pontrjaginov princíp minima/maxima (PMP)
- Variačný počet (VP)

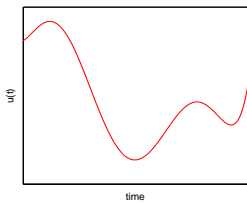
## • Numerické metódy

- Stavy aj riadenie sú spojité:
  - Iterácia hraničnej podmienky (BCI)
  - Iterácia vektora riadenia (CVI)
- Stavy sú spojité, riadenie je approximované:
  - Sekvenčná metóda – parametrizácia vektora riadenia (CVP)
- Stavy, aj riadenie sú approximované:
  - Simultánna metóda (totálna parametrizácia)

# Parametrizácia vektora riadenia CVP

## D.O. problém

$$\min_{u(t)} G(\cdot) + \int F(\cdot) dt$$

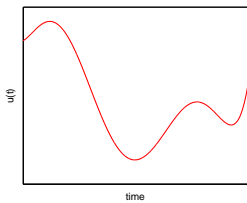


nekonečný počet opt.  
veličín ( $u(t)$ )

# Parametrizácia vektora riadenia CVP

D.O. problém

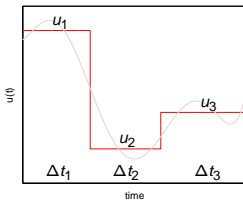
$$\min_{u(t)} G(\cdot) + \int F(\cdot) dt$$



nekonečný počet opt.  
veličín ( $u(t)$ )

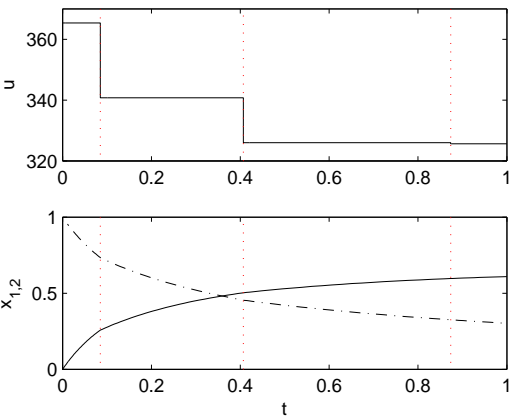
NLP problém

$$\min_{u_i, \Delta t_i} G(\cdot) + \int F(\cdot) dt$$



konečný počet opt. veličín  
( $u_i, \Delta t_i$ )

# Totálna parametrizácia na konečných prvkoch



## 1 Diskretizácia času

- voľba  $\Delta t_i$
- výpočet  $t_{ij}$

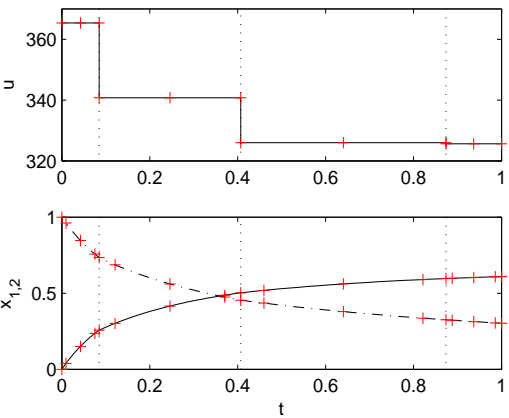
## 2 Totálna parametrizácia

- $u(t) = \sum_{j=1}^{ncol} u_{ij} \psi_j(t)$
- $x(t) = \sum_{j=0}^{ncol} x_{ij} \phi_j(t)$

## 3 Optimalizované premenné

$$\begin{aligned} \mathbf{z} &= [\Delta t_1, \dots, \Delta t_{ni}, \\ &\quad \mathbf{u}_{11}, \dots, \mathbf{u}_{ij}, \\ &\quad \mathbf{x}_{10}, \dots, \mathbf{x}_{ij}]^T \end{aligned}$$

# Totálna parametrizácia na konečných prvkoch



## 1 Diskretizácia času

- voľba  $\Delta t_i$
- výpočet  $t_{ij}$

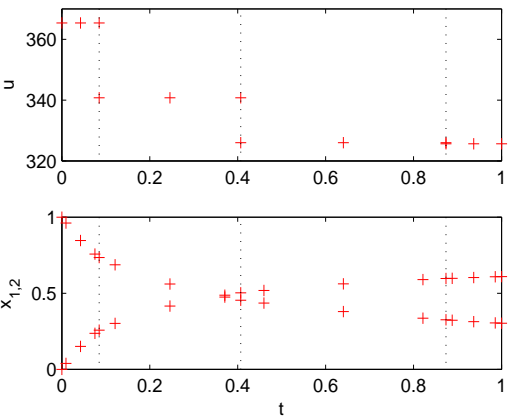
## 2 Totálna parametrizácia

- $u(t) = \sum_{j=1}^{ncol_u} u_{ij} \psi_j(t)$
- $x(t) = \sum_{j=0}^{ncol_x} x_{ij} \phi_j(t)$

## 3 Optimalizované premenné

$$\begin{aligned} \mathbf{z} &= [\Delta t_1, \dots, \Delta t_{ni}, \\ &\quad \mathbf{u}_{11}, \dots, \mathbf{u}_{ij}, \\ &\quad \mathbf{x}_{10}, \dots, \mathbf{x}_{ij}]^T \end{aligned}$$

# Totálna parametrizácia na konečných prvkoch



## 1 Diskretizácia času

- voľba  $\Delta t_i$
- výpočet  $t_{ij}$

## 2 Totálna parametrizácia

- $u(t) = \sum_{j=1}^{ncol_u} u_{ij} \psi_j(t)$
- $x(t) = \sum_{j=0}^{ncol_x} x_{ij} \phi_j(t)$

## 3 Optimalizované premenné

$$\begin{aligned} \boldsymbol{z} &= [\Delta t_1, \dots, \Delta t_{ni}, \\ &\quad \boldsymbol{u}_{11}, \dots, \boldsymbol{u}_{ij}, \\ &\quad \boldsymbol{x}_{10}, \dots, \boldsymbol{x}_{ij}]^T \end{aligned}$$

# Prehľad

1

## Dynamická optimalizácia hybridných systémov

- Definícia hybridného systému
- Definícia problému
- Možnosti riešenia optimalizačného problému

2

## Sekvenčná metóda – parametrizácia vektora riadenia

- Princíp metódy
- Nespojitosť stavových a adjugovaných veličín
- Algoritmus riešenia
- Grafická interpretácia algoritmu riešenia

3

## Ilustratívne príklady

- Riadenie zásobníkov kvapaliny
- Riadenie dvojstupňového chemického reaktora

# Princíp metódy

## Charakteristické črty sekvenčnej metódy:

- Princíp:
  - Transformácia problému **dynamickej** optimalizácie na problém **statickej** optimalizácie (**NLP** – nelineárne programovanie).
  - Úlohu NLP je potom možné riešiť vhodnou **gradientovou metódou** a algoritmom typu **SQP**.
- Integrácia:
  - **dopredná** – optimalizovaný proces
  - **spätná** – systém adjugovaných rovníc a podintegrálnych tvarov
- Výpočet: **iteračný**
- Typ metódy: **gradientová**

$$\frac{\partial J}{\partial t_i} = 0, \quad \frac{\partial J}{\partial \mathbf{u}_i} = 0, \quad \frac{\partial J}{\partial \mathbf{p}} = 0 \quad (10)$$

# Metódy výpočtu gradientov

- **konečnou diferenciou** – systém je integrovaný  $n_q$  krát a vždy jedna optimalizovaná premenná je trochu posunutá.

$$\nabla_{y_i} J_j = \frac{J_j(y_1, \dots, \Delta y_i, \dots, y_{n_q}) - J_j(\mathbf{y})}{\Delta y_i}, \quad j = \overline{0, k} \quad (11)$$

- **citlivostnými rovnicami** – získame diferenciáciu systému podľa optimalizovaných parametrov

$$\dot{s}_{u_{ij}}(t) = \frac{d}{dt} \left( \frac{\partial \mathbf{x}}{\partial u_{ij}^T} \right) = \frac{\partial \mathbf{f}_i}{\partial \mathbf{x}^T} s_{u_{ij}} + \frac{\partial \mathbf{f}_i}{\partial \mathbf{u}^T} \quad (12)$$

$$\nabla_{u_{ij}} J = \sum_{i=1}^P \frac{\partial G}{\partial \mathbf{x}^T(t_i^-)} s_{u_{ij}} + \sum_{i=1}^P \frac{\partial G}{\partial \mathbf{u}_i^T} + \int_{t_0}^{t_P} \left( \frac{\partial \mathbf{f}_i}{\partial \mathbf{x}^T} s_{u_{ij}} + \frac{\partial \mathbf{f}_i}{\partial \mathbf{u}^T} \right) dt \quad (13)$$

- **adjugovanými rovnicami**

**Variácia  $J_j$  vzhľadom na optimalizované premenné ( $0 \leq j \leq k$ )**

$$\begin{aligned}
 \delta J = & \sum_{i=1}^{P-1} \left[ \boldsymbol{\lambda}^T(t_i^+) \left( \frac{\partial \Delta_i}{\partial \mathbf{u}_i^T} \right) + \left[ H(t_i^-) - H(t_i^+) + \frac{\partial G}{\partial t_i} + \boldsymbol{\lambda}^T(t_i^+) \left( \frac{\partial \Delta_i}{\partial t_i} \right) \right] \mathbf{b}_i \right] \delta \mathbf{u}_i \\
 & + \sum_{i=1}^P \left[ \frac{\partial G}{\partial \mathbf{u}_i^T} + \int_{t_{i-1}^+}^{t_i^-} \frac{\partial H}{\partial \mathbf{u}_i^T} dt \right] \delta \mathbf{u}_i \\
 & + \sum_{i=1}^{P-1} \left[ \boldsymbol{\lambda}^T(t_i^+) \left( \frac{\partial \Delta_i}{\partial \mathbf{p}^T} \right) + \left[ H(t_i^-) - H(t_i^+) + \frac{\partial G}{\partial t_i} + \boldsymbol{\lambda}^T(t_i^+) \left( \frac{\partial \Delta_i}{\partial t_i} \right) \right] \mathbf{c}_i \right] \delta \mathbf{p} \\
 & + \left[ \boldsymbol{\lambda}^T(t_0^+) \frac{\partial x_0}{\partial \mathbf{p}^T} + \frac{\partial G}{\partial \mathbf{p}^T} + \int_{t_0}^{t_P} \frac{\partial H}{\partial \mathbf{p}^T} dt \right] \delta \mathbf{p} \\
 & + \left[ H(t_P^-) + \frac{\partial G}{\partial t_P} \right] \delta t_P
 \end{aligned} \tag{14}$$

Výrazy v zátvorkách sú gradienty vzhľadom na optimalizované premenné pre NLP ( $t_i, \mathbf{u}_i, \mathbf{p}$ ).

**Variácia  $J_j$  vzhľadom na optimalizované premenné ( $0 \leq j \leq k$ )**

$$\begin{aligned}
 \delta J = & \sum_{i=1}^{P-1} \left[ \boldsymbol{\lambda}^T(t_i^+) \left( \frac{\partial \Delta_i}{\partial \mathbf{u}_i^T} \right) + \left[ H(t_i^-) - H(t_i^+) + \frac{\partial G}{\partial t_i} + \boldsymbol{\lambda}^T(t_i^+) \left( \frac{\partial \Delta_i}{\partial t_i} \right) \right] \mathbf{b}_i \right] \delta \mathbf{u}_i \\
 & + \sum_{i=1}^P \left[ \frac{\partial G}{\partial \mathbf{u}_i^T} + \int_{t_{i-1}^+}^{t_i^-} \frac{\partial H}{\partial \mathbf{u}_i^T} dt \right] \delta \mathbf{u}_i \\
 & + \sum_{i=1}^{P-1} \left[ \boldsymbol{\lambda}^T(t_i^+) \left( \frac{\partial \Delta_i}{\partial \mathbf{p}^T} \right) + \left[ H(t_i^-) - H(t_i^+) + \frac{\partial G}{\partial t_i} + \boldsymbol{\lambda}^T(t_i^+) \left( \frac{\partial \Delta_i}{\partial t_i} \right) \right] \mathbf{c}_i \right] \delta \mathbf{p} \\
 & + \left[ \boldsymbol{\lambda}^T(t_0^+) \frac{\partial x_0}{\partial \mathbf{p}^T} + \frac{\partial G}{\partial \mathbf{p}^T} + \int_{t_0}^{t_P} \frac{\partial H}{\partial \mathbf{p}^T} dt \right] \delta \mathbf{p} \\
 & + \left[ H(t_P^-) + \frac{\partial G}{\partial t_P} \right] \delta t_P
 \end{aligned} \tag{14}$$

Výrazy v zátvorkách sú **gradienty** vzhľadom na **optimalizované premenné** pre **NLP** ( $t_i, \mathbf{u}_i, \mathbf{p}$ ).

**Variácia  $J_j$  vzhľadom na optimalizované premenné ( $0 \leq j \leq k$ )**

$$\begin{aligned}
 \delta J = & \sum_{i=1}^{P-1} \left[ \boldsymbol{\lambda}^T(t_i^+) \left( \frac{\partial \Delta_i}{\partial \mathbf{u}_i^T} \right) + \left[ H(t_i^-) - H(t_i^+) + \frac{\partial G}{\partial t_i} + \boldsymbol{\lambda}^T(t_i^+) \left( \frac{\partial \Delta_i}{\partial t_i} \right) \right] \mathbf{b}_i \right] \delta \mathbf{u}_i \\
 & + \sum_{i=1}^P \left[ \frac{\partial G}{\partial \mathbf{u}_i^T} + \int_{t_{i-1}^+}^{t_i^-} \frac{\partial H}{\partial \mathbf{u}_i^T} dt \right] \delta \mathbf{u}_i \\
 & + \sum_{i=1}^{P-1} \left[ \boldsymbol{\lambda}^T(t_i^+) \left( \frac{\partial \Delta_i}{\partial \mathbf{p}^T} \right) + \left[ H(t_i^-) - H(t_i^+) + \frac{\partial G}{\partial t_i} + \boldsymbol{\lambda}^T(t_i^+) \left( \frac{\partial \Delta_i}{\partial t_i} \right) \right] \mathbf{c}_i \right] \delta \mathbf{p} \\
 & + \left[ \boldsymbol{\lambda}^T(t_0^+) \frac{\partial x_0}{\partial \mathbf{p}^T} + \frac{\partial G}{\partial \mathbf{p}^T} + \int_{t_0}^{t_P} \frac{\partial H}{\partial \mathbf{p}^T} dt \right] \delta \mathbf{p} \\
 & + \left[ H(t_P^-) + \frac{\partial G}{\partial t_P} \right] \delta t_P
 \end{aligned} \tag{14}$$

Výrazy v zátvorkách sú **gradienty** vzhľadom na **optimalizované premenné** pre **NLP** ( $t_i, \mathbf{u}_i, \mathbf{p}$ ).

## Variácia $J_j$ vzhľadom na optimalizované premenné ( $0 \leq j \leq k$ )

$$\begin{aligned}
 \delta J = & \sum_{i=1}^{P-1} \left[ \boldsymbol{\lambda}^T(t_i^+) \left( \frac{\partial \Delta_i}{\partial \mathbf{u}_i^T} \right) + \left[ H(t_i^-) - H(t_i^+) + \frac{\partial G}{\partial t_i} + \boldsymbol{\lambda}^T(t_i^+) \left( \frac{\partial \Delta_i}{\partial t_i} \right) \right] \mathbf{b}_i \right] \delta \mathbf{u}_i \\
 & + \sum_{i=1}^P \left[ \frac{\partial G}{\partial \mathbf{u}_i^T} + \int_{t_{i-1}^+}^{t_i^-} \frac{\partial H}{\partial \mathbf{u}_i^T} dt \right] \delta \mathbf{u}_i \\
 & + \sum_{i=1}^{P-1} \left[ \boldsymbol{\lambda}^T(t_i^+) \left( \frac{\partial \Delta_i}{\partial \mathbf{p}^T} \right) + \left[ H(t_i^-) - H(t_i^+) + \frac{\partial G}{\partial t_i} + \boldsymbol{\lambda}^T(t_i^+) \left( \frac{\partial \Delta_i}{\partial t_i} \right) \right] \mathbf{c}_i \right] \delta \mathbf{p} \\
 & + \left[ \boldsymbol{\lambda}^T(t_0^+) \frac{\partial x_0}{\partial \mathbf{p}^T} + \frac{\partial G}{\partial \mathbf{p}^T} + \int_{t_0}^{t_P} \frac{\partial H}{\partial \mathbf{p}^T} dt \right] \delta \mathbf{p} \\
 & + \left[ H(t_P^-) + \frac{\partial G}{\partial t_P} \right] \delta t_P
 \end{aligned} \tag{14}$$

Výrazy v zátvorkách sú **gradienty** vzhľadom na **optimalizované premenné** pre **NLP** ( $t_i, \mathbf{u}_i, \mathbf{p}$ ).

**Variácia  $J_j$  vzhľadom na optimalizované premenné ( $0 \leq j \leq k$ )**

$$\begin{aligned}
 \delta J = & \sum_{i=1}^{P-1} \left[ \boldsymbol{\lambda}^T(t_i^+) \left( \frac{\partial \Delta_i}{\partial \mathbf{u}_i^T} \right) + \left[ H(t_i^-) - H(t_i^+) + \frac{\partial G}{\partial t_i} + \boldsymbol{\lambda}^T(t_i^+) \left( \frac{\partial \Delta_i}{\partial t_i} \right) \right] \mathbf{b}_i \right] \delta \mathbf{u}_i \\
 & + \sum_{i=1}^P \left[ \frac{\partial G}{\partial \mathbf{u}_i^T} + \int_{t_{i-1}^+}^{t_i^-} \frac{\partial H}{\partial \mathbf{u}_i^T} dt \right] \delta \mathbf{u}_i \\
 & + \sum_{i=1}^{P-1} \left[ \boldsymbol{\lambda}^T(t_i^+) \left( \frac{\partial \Delta_i}{\partial \mathbf{p}^T} \right) + \left[ H(t_i^-) - H(t_i^+) + \frac{\partial G}{\partial t_i} + \boldsymbol{\lambda}^T(t_i^+) \left( \frac{\partial \Delta_i}{\partial t_i} \right) \right] \mathbf{c}_i \right] \delta \mathbf{p} \\
 & + \left[ \boldsymbol{\lambda}^T(t_0^+) \frac{\partial x_0}{\partial \mathbf{p}^T} + \frac{\partial G}{\partial \mathbf{p}^T} + \int_{t_0}^{t_P} \frac{\partial H}{\partial \mathbf{p}^T} dt \right] \delta \mathbf{p} \\
 & + \left[ H(t_P^-) + \frac{\partial G}{\partial t_P} \right] \delta t_P
 \end{aligned} \tag{14}$$

Výrazy v zátvorkách sú **gradienty** vzhľadom na **optimalizované premenné** pre **NLP** ( $t_i, \mathbf{u}_i, \mathbf{p}$ ).

# Prehľad

1

## Dynamická optimalizácia hybridných systémov

- Definícia hybridného systému
- Definícia problému
- Možnosti riešenia optimalizačného problému

2

## Sekvenčná metóda – parametrizácia vektora riadenia

- Princíp metódy
- **Nespojitosť stavových a adjugovaných veličín**
- Algoritmus riešenia
- Grafická interpretácia algoritmu riešenia

3

## Ilustratívne príklady

- Riadenie zásobníkov kvapaliny
- Riadenie dvojstupňového chemického reaktora

# Nespojitosť stavových a adjugovaných veličín

V čase prenutia môže byť vektor  $\mathbf{x}(t)$  **nespojity** s prerušením v tvare

$$\mathbf{x}(t_i^+) = \mathbf{x}(t_i^-) + \Delta_i(t_i, \mathbf{x}(t_i^-), \mathbf{u}_i, \mathbf{p}) \quad (15)$$

Podmienky **nespojitosťi** v čase prenutia dynamiky pre adjugované veličiny sú nasledovné

$$\begin{aligned} \lambda^T(t_i^-) &= \lambda^T(t_i^+) \left[ I + \left( \frac{\partial \Delta_i}{\partial \mathbf{x}^T(t_i)} \right) + \left( \frac{\partial \Delta_i}{\partial t_i} \right) \mathbf{a}_i \right] \\ &+ \left[ H(t_i^-) - H(t_i^+) + \frac{\partial G}{\partial t_i} \right] \mathbf{a}_i + \frac{\partial G}{\partial \mathbf{x}^T(t_i)}, \quad i = \overline{1, P-1} \end{aligned} \quad (16)$$

$$\text{kde } \mathbf{a}_i = - \left( \frac{\partial \mathbf{g}_i}{\partial t_i} \right)^{-1} \left( \frac{\partial \mathbf{g}_i}{\partial \mathbf{x}_i^T(t_i^-)} \right) \quad (17)$$

# Prehľad

1

## Dynamická optimalizácia hybridných systémov

- Definícia hybridného systému
- Definícia problému
- Možnosti riešenia optimalizačného problému

2

## Sekvenčná metóda – parametrizácia vektora riadenia

- Princíp metódy
- Nespojitosť stavových a adjugovaných veličín
- **Algoritmus riešenia**
- Grafická interpretácia algoritmu riešenia

3

## Ilustratívne príklady

- Riadenie zásobníkov kvapaliny
- Riadenie dvojstupňového chemického reaktora

# Algoritmus riešenia

1 Počiatočná **inicializácia** rovníc potrebných na výpočet gradientov:

$$\left[ \frac{\partial J_j}{\partial t_i}, \frac{\partial J_j}{\partial \mathbf{u}}, \frac{\partial J_j}{\partial \mathbf{p}} \right]$$

2 Dopredná integrácia systému a integrálnych tvarov  $F_j$  od  $t_0$  po  $t_P$ .

Reštart integrácie nastáva v čase  $t_s$ , **stavy môžu byť nespojité**.

3 Cyklus pre funkcionál a obmedzenia ( $J_j$ ):  $j = \overline{0, k}$

(a) Inicializácia adjugovaných premenných  $\lambda_j(t_P) = \frac{\partial G_j}{\partial \mathbf{x}(t_P)}$ .

(b) Inicializácia nulových dočasných veličín  $L_{u,j}$  a  $L_{p,j}$ .

(c) **Spätná integrácia** adjugovaného systému a dočasných premenných od  $t_P$  po  $t_0$ . V prípade **nespojitosti adjugovaných rovníc** reštartujeme integráciu a dynamiku v týchto bodoch

$$\dot{\lambda}_j(t) = -\frac{\partial H_j}{\partial \mathbf{x}}, \quad \dot{L}_{u,j}(t) = \frac{\partial H_j}{\partial \mathbf{u}}, \quad \dot{L}_{p,j}(t) = \frac{\partial H_j}{\partial \mathbf{p}} \quad (18)$$

(d) **Vypočítame gradienty  $J_j$  vzhľadom na optimalizované premenné.**

# Algoritmus riešenia

1 Počiatočná **inicializácia** rovníc potrebných na výpočet gradientov:

$$\left[ \frac{\partial J_j}{\partial t_i}, \frac{\partial J_j}{\partial \mathbf{u}}, \frac{\partial J_j}{\partial \mathbf{p}} \right]$$

2 **Dopredná integrácia** systému a integrálnych tvarov  $F_j$  od  $t_0$  po  $t_P$ . Reštart integrácie nastáva v čase  $t_s$ , **stavy môžu byť nespojité**.

3 Cyklus pre funkcionál a obmedzenia ( $J_j$ ):  $j = \overline{0, k}$

(a) Inicializácia adjugovaných premenných  $\lambda_j(t_P) = \frac{\partial G_j}{\partial \mathbf{x}(t_P)}$ .

(b) Inicializácia nulových dočasných veličín  $L_{u,j}$  a  $L_{p,j}$ .

(c) **Spätná integrácia** adjugovaného systému a dočasných premenných od  $t_P$  po  $t_0$ . V prípade **nespojitosti adjugovaných rovníc** reštartujeme integráciu a dynamiku v týchto bodoch

$$\dot{\lambda}_j(t) = -\frac{\partial H_j}{\partial \mathbf{x}}, \quad \dot{L}_{u,j}(t) = \frac{\partial H_j}{\partial \mathbf{u}}, \quad \dot{L}_{p,j}(t) = \frac{\partial H_j}{\partial \mathbf{p}} \quad (18)$$

(d) **Vypočítame gradienty  $J_j$  vzhľadom na optimalizované premenné.**

# Algoritmus riešenia

① Počiatočná **inicializácia** rovníc potrebných na výpočet gradientov:

$$\left[ \frac{\partial J_j}{\partial t_i}, \frac{\partial J_j}{\partial \mathbf{u}}, \frac{\partial J_j}{\partial \mathbf{p}} \right]$$

② **Dopredná integrácia** systému a integrálnych tvarov  $F_j$  od  $t_0$  po  $t_P$ .

Reštart integrácie nastáva v čase  $t_s$ , **stavy môžu byť nespojité**.

③ Cyklus pre funkcionál a obmedzenia ( $J_j$ ):  $j = \overline{0, k}$

(a) Inicializácia adjugovaných premenných  $\lambda_j(t_P) = \frac{\partial G_j}{\partial \mathbf{x}(t_P)}$ .

(b) Inicializácia nulových dočasných veličín  $L_{u,j}$  a  $L_{p,j}$ .

(c) **Spätná integrácia** adjugovaného systému a dočasných premenných od  $t_P$  po  $t_0$ . V prípade **nespojitosti adjugovaných rovníc** reštartujeme integráciu a dynamiku v týchto bodoch

$$\dot{\lambda}_j(t) = -\frac{\partial H_j}{\partial \mathbf{x}}, \quad \dot{L}_{u,j}(t) = \frac{\partial H_j}{\partial \mathbf{u}}, \quad \dot{L}_{p,j}(t) = \frac{\partial H_j}{\partial \mathbf{p}} \quad (18)$$

(d) **Vypočítame gradienty**  $J_j$  vzhľadom na optimalizované premenné.

# Algoritmus riešenia

1 Počiatočná **inicializácia** rovníc potrebných na výpočet gradientov:

$$\left[ \frac{\partial J_j}{\partial t_i}, \frac{\partial J_j}{\partial u_i}, \frac{\partial J_j}{\partial p} \right]$$

2 **Dopredná integrácia** systému a integrálnych tvarov  $F_j$  od  $t_0$  po  $t_P$ .

Reštart integrácie nastáva v čase  $t_s$ , **stavy môžu byť nespojité**.

3 Cyklus pre funkcionál a obmedzenia ( $J_j$ ):  $j = \overline{0, k}$

(a) Inicializácia adjugovaných premenných  $\lambda_j(t_P) = \frac{\partial G_j}{\partial \mathbf{x}(t_P)}$ .

(b) Inicializácia nulových dočasných veličín  $L_{u,j}$  a  $L_{p,j}$ .

(c) **Spätná integrácia** adjugovaného systému a dočasných premenných od  $t_P$  po  $t_0$ . V prípade **nespojitosti adjugovaných rovníc** reštartujeme integráciu a dynamiku v týchto bodoch

$$\dot{\lambda}_j(t) = -\frac{\partial H_j}{\partial \mathbf{x}}, \quad \dot{L}_{u,j}(t) = \frac{\partial H_j}{\partial \mathbf{u}}, \quad \dot{L}_{p,j}(t) = \frac{\partial H_j}{\partial \mathbf{p}} \quad (18)$$

(d) **Vypočítame gradienty**  $J_j$  vzhľadom na optimalizované premenné.

# Prehľad

## 1 Dynamická optimalizácia hybridných systémov

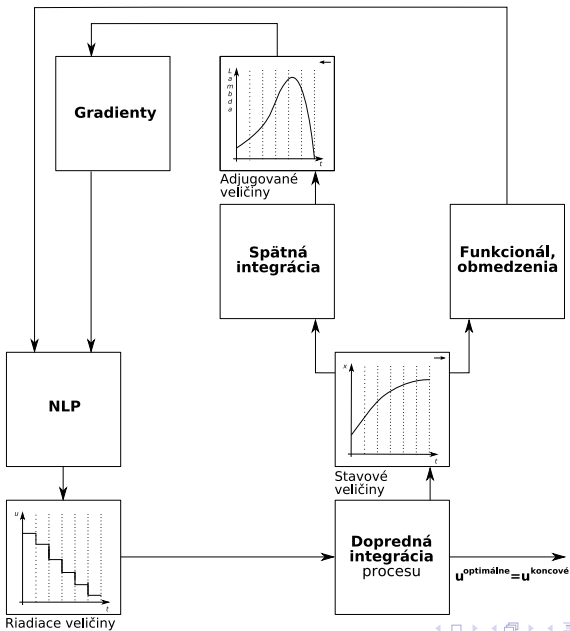
- Definícia hybridného systému
- Definícia problému
- Možnosti riešenia optimalizačného problému

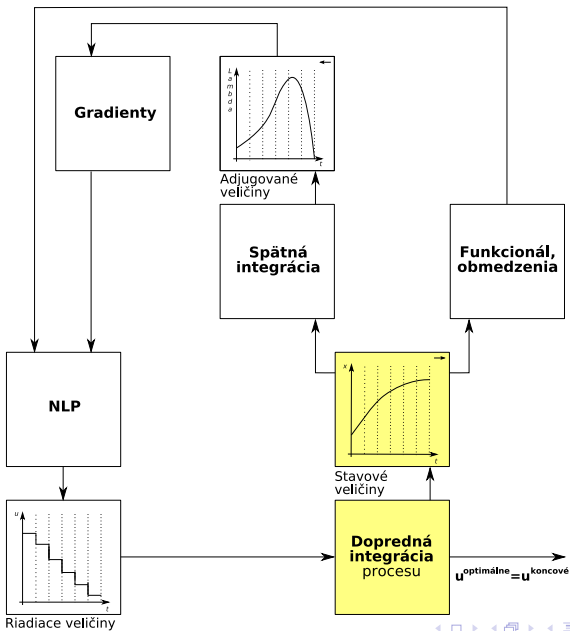
## 2 Sekvenčná metóda – parametrizácia vektora riadenia

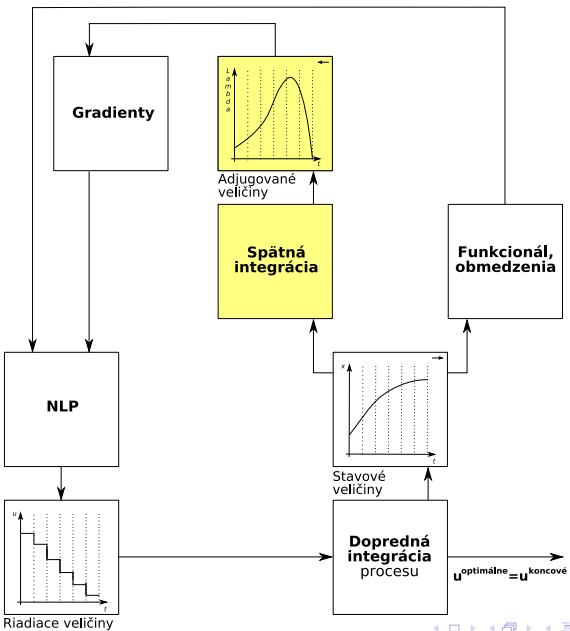
- Princíp metódy
- Nespojitosť stavových a adjugovaných veličín
- Algoritmus riešenia
- Grafická interpretácia algoritmu riešenia

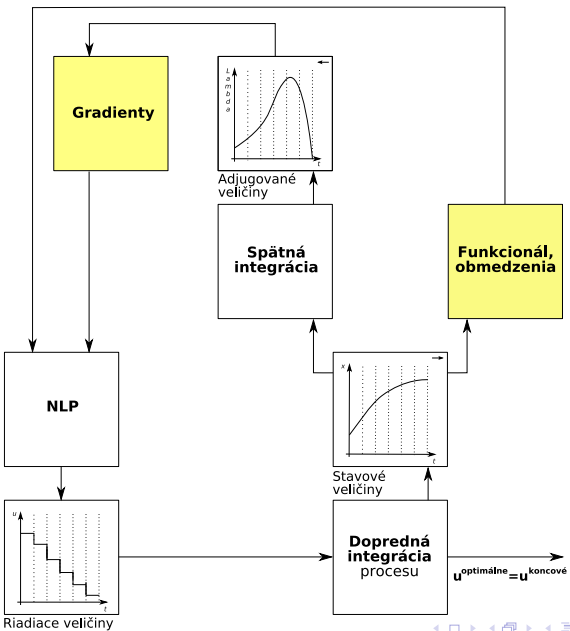
## 3 Ilustratívne príklady

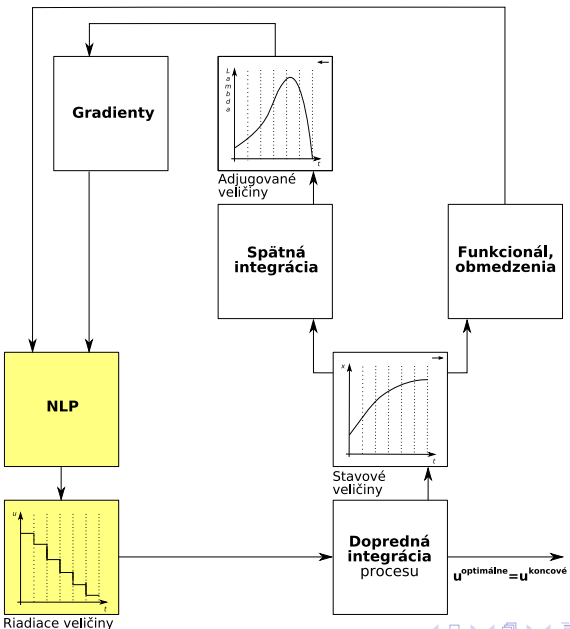
- Riadenie zásobníkov kvapaliny
- Riadenie dvojstupňového chemického reaktora

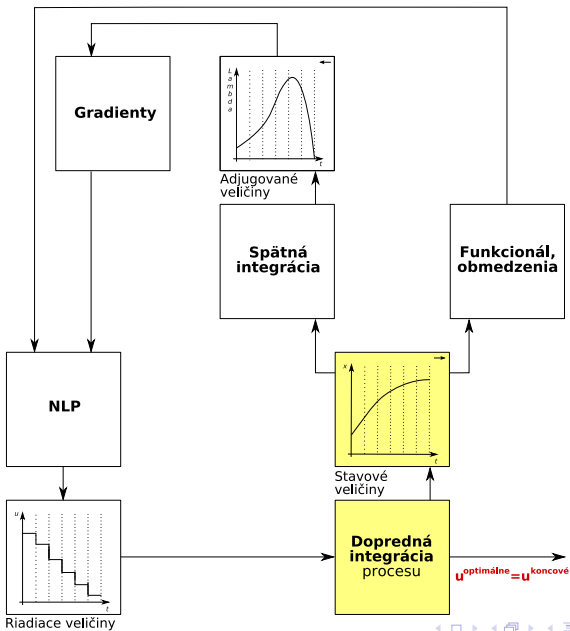












# Prehľad

1

## Dynamická optimalizácia hybridných systémov

- Definícia hybridného systému
- Definícia problému
- Možnosti riešenia optimalizačného problému

2

## Sekvenčná metóda – parametrizácia vektora riadenia

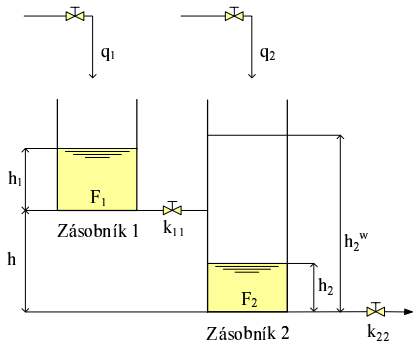
- Princíp metódy
- Nespojitosť stavových a adjugovaných veličín
- Algoritmus riešenia
- Grafická interpretácia algoritmu riešenia

3

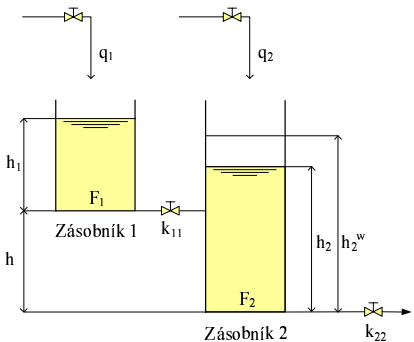
## Ilustratívne príklady

- Riadenie zásobníkov kvapaliny
- Riadenie dvojstupňového chemického reaktora

# Zásobníky kvapaliny



Obr.: Bez interakcie



Obr.: S interakciou

# Model

Systém je opísaný skupinami **diferenciálnych rovníc**

$$\mathbf{f}_1 = \frac{d\mathbf{x}}{dt} = \begin{cases} \frac{q_1}{F_1} - \frac{k_{11}\sqrt{h_1}}{F_1} \\ \frac{q_2}{F_2} + \frac{k_{11}\sqrt{h_1}}{F_2} - \frac{k_{22}\sqrt{h_2}}{F_2} \end{cases} \quad (19)$$

$$\mathbf{f}_2 = \frac{d\mathbf{x}}{dt} = \begin{cases} \frac{q_1}{F_1} - \frac{k_{11}\sqrt{h_1-(h_2-h)}}{F_1} \\ \frac{q_2}{F_2} + \frac{k_{11}\sqrt{h_1-(h_2-h)}}{F_2} - \frac{k_{22}\sqrt{h_2}}{F_2} \end{cases} \quad (20)$$

**s podmienkou prepnutia dynamiky**

$$g_1 = h - h_2 = 0 \quad (21)$$

*h* - vertikálna vzdialenosť medzi zásobníkmi

# Definícia problému

Funkcionál pre problém **minimalizácie času** má tvar

$$\min_{\Delta t_i, q} J_0 = t_P \quad (22)$$

vzhľadom na **obmedzenia**

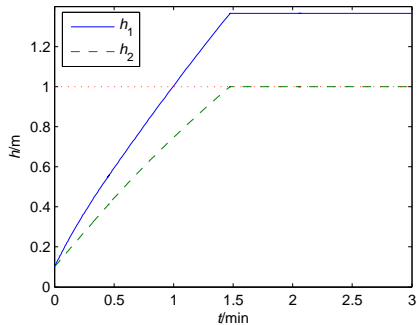
$$J_1 = h_2(t_P) - h_2^w = 0 \quad (23)$$

$$J_2 = \frac{dh_1(t_P)}{dt} = 0 \quad (24)$$

$$J_3 = \frac{dh_2(t_P)}{dt} = 0 \quad (25)$$

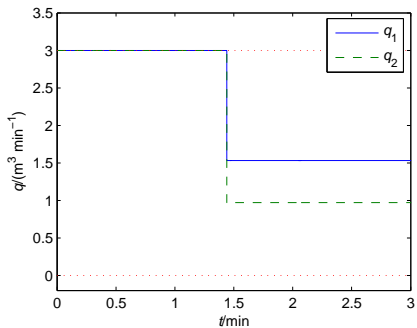
$$h_2^w = 1 \text{ m}$$

# Problém minimalizácie času



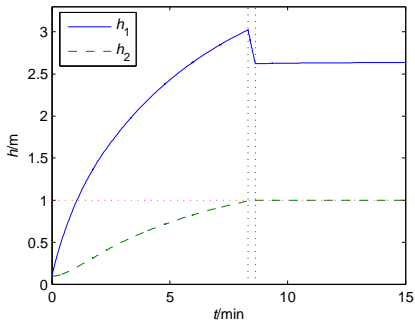
Obr.: Priebeh dynamiky pri použití  
**viacerých** riadiacich veličín

Čas regulácie: 1,47 min



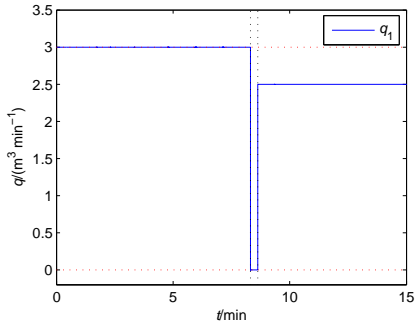
Obr.: Optimálne riadenie pri použití  
**viacerých** riadiacich veličín,  
 $q_{1,2} \in [0, 3]$

# Problém minimalizácie času



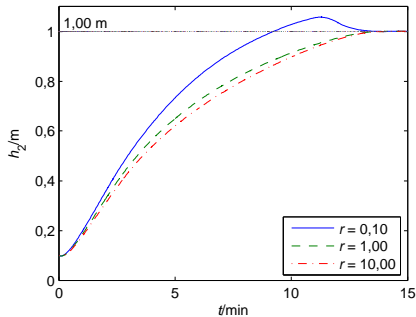
Obr.: Priebeh dynamiky pri použití jednej riadiacej veličiny

Čas regulácie: 8,623 min

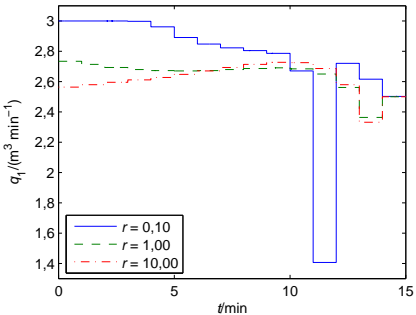


Obr.: Optimálne riadenie pri použití jednej riadiacej veličiny,  $q_1 \in [0, 3]$ ,  $q_2 = 0$

# Problém LQ riadenia



Obr.: Výška hladiny v druhom zásobníku pre rôzne hodnoty  $r$



Obr.: Optimálne riadenie pre rôzne hodnoty  $r$

$$\min_q J_0 = \int_{t_0}^{t_P} \left( (h_2 - h_2^s)^2 + r (q_1 - q_1^s)^2 \right) dt$$

# Prehľad

1

## Dynamická optimalizácia hybridných systémov

- Definícia hybridného systému
- Definícia problému
- Možnosti riešenia optimalizačného problému

2

## Sekvenčná metóda – parametrizácia vektora riadenia

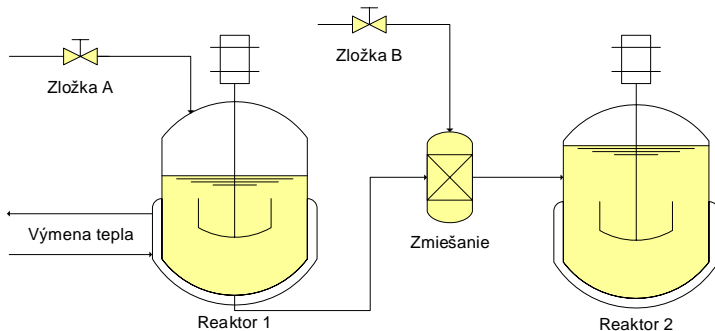
- Princíp metódy
- Nespojitosť stavových a adjugovaných veličín
- Algoritmus riešenia
- Grafická interpretácia algoritmu riešenia

3

## Ilustratívne príklady

- Riadenie zásobníkov kvapaliny
- **Riadenie dvojstupňového chemického reaktora**

# Dvojstupňový chemický reaktor

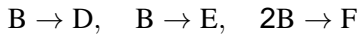


Obr.: Dvojstupňový chemický reaktor

Prvá reakčná fáza:



Druhá reakčná fáza:



# Proces

- **prvá reakčná fáza** – zmena teploty pomocou ohrevnej cievky ( $P = 1$  časových intervalov)
- **druhá reakčná fáza** – **izotermické** podmienky (1 časový interval)
- proces **zmiešavania** je opísaný nasledujúcimi rovnicami

$$V_2 c_A(t_s^+) = V_1 c_A(t_s^-) \quad (26)$$

$$V_2 c_B(t_s^+) = V_1 c_B(t_s^-) + S c_B^s \quad (27)$$

$$V_2 c_C(t_s^+) = V_1 c_C(t_s^-) \quad (28)$$

$S$  - množstvo pridanej zložky B v čase prepnutia

# Model

Systém opisuje skupina **diferenciálnych rovníc**

$$\mathbf{f}_1 = \frac{dx}{dt} = \begin{cases} \dot{c}_A = -2k_1(T)c_A^2 \\ \dot{c}_B = k_1(T)c_A^2 - k_2(T)c_B \\ \dot{c}_C = k_2(T)c_B \end{cases} \quad (29)$$

$$\mathbf{f}_2 = \frac{dx}{dt} = \begin{cases} \dot{c}_B = -0,02c_B - 0,05c_B - 0,00008c_B^2 \\ \dot{c}_D = 0,02c_B \\ \dot{c}_E = 0,05c_B \\ \dot{c}_F = 0,00004c_B^2 \end{cases} \quad (30)$$

s **kinetickými konštantami** definovanými ako

$$k_1(T) = 0,0444e^{-\frac{2500}{T}} \quad (31)$$

$$k_2(T) = 6889,0e^{-\frac{5000}{T}} \quad (32)$$

# Definícia problému

Funkcionál vzhľadom na **maximalizáciu** produktu **zložky D**  
v koncovom čase  $t_P$  má tvar

$$\max_{S, \Delta t_i, T[0, t_S]} J_0 = V_2 c_D(t_P) \quad (33)$$

vzhľadom na **obmedzenia**

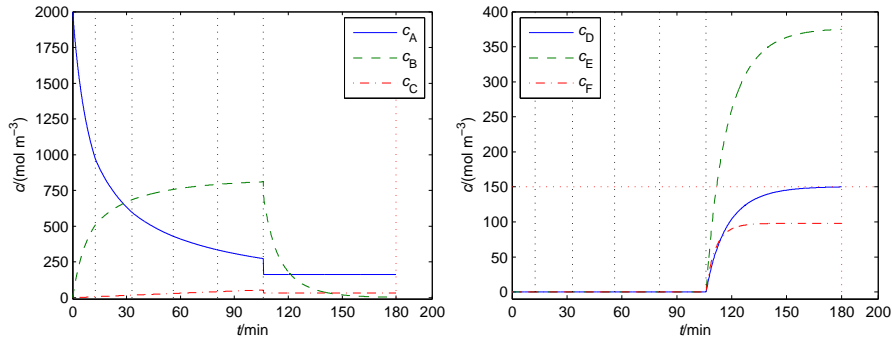
$$J_1 = c_D(t_P) - c_D^w \geq 0 \quad (34)$$

$$J_2 = t_P - \sum_{i=1}^P \Delta t_i \geq 0 \quad (35)$$

$$c_D^w = 150 \text{ mol m}^{-3}$$

$$t_P = 180 \text{ min}$$

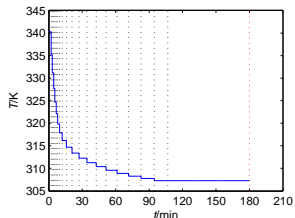
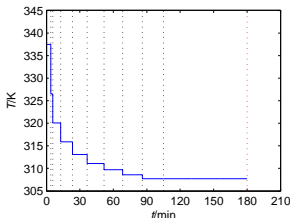
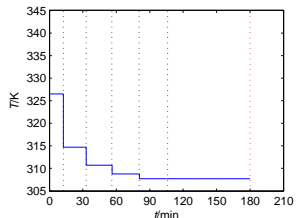
# Priebeh stavových veličín a funkcionálu



Obr.: Optimálne stavové trajektórie zložiek A-F vzhľadom na 6 intervalov

$$\max_{S, \Delta t_i, T[0, t_s]} J_0 = V_2 c_D(t_P), \quad J_1 = c_D(t_P) - c_D^W \geq 0, \quad J_2 = t_P - \sum_{i=1}^P \Delta t_i \geq 0$$

# Priebeh riadiacich veličín



Obr.: Optimálne riadenie pre 6, 10 a 20 diskretizovaných intervalov

Počet intervalov, $P$	Čas prepnutia, $t_s/min$	Množstvo pridanéj zložky B, $S/m^3$	Množstvo zložky D, $J_0/mol$
<b>6</b>	106,04	0,0702	<b>25,54</b>
<b>10</b>	104,98	0,0705	<b>25,57</b>
<b>20</b>	106,82	0,0705	<b>25,58</b>

# Závery

- Prezentácia optimálneho riadenia hybridných systémov
- Nutná transformácia na NLP (okrem triviálnych prípadov)
- Vyhovujúce sú parametrizácia vektora riadenia (CVP) a totálna parametrizácia (OC)
- Je veľmi málo sw balíkov, ktoré tieto algoritmy podporujú.  
Čiastočne napríklad dotcvspsb (Tomáš Hirmajer)



M. Fikar.

*Dynamická optimalizácia procesov.*

STU Bratislava, Slovenská e-akadémia, n. o., 2007.



T. Hirmajer, M. Čižniar, M. Fikar, E. Balsa-Canto, and J. R. Banga.

Brief introduction to DOTcvp – dynamic optimization toolbox.

In *Proceedings of the 8th International Scientific - Technical Conference Process Control 2008*, page C011a, Kouty nad Desnou, Czech Republic, June 9-12, 2008 2008. University of Pardubice.



T. Hirmajer and M. Fikar.

Dynamic optimization of a hybrid coupled tanks system.

*Journal of Electrical Engineering*, 57(3):166–171, 2006.



T. Hirmajer and M. Fikar.

Optimal control of a two-stage reactor system.

*Chemical Papers*, 60(5):381–387, 2006.

# Podčakovanie

Táto prezentácia by nebola vznikla bez výsledkov a práce mojich súčasných a minulých spolupracovníkov:

- Ing. Tomáš Hirmajer, PhD.
- Ing. Michal Čižniar
- Ing. Radoslav Paulen